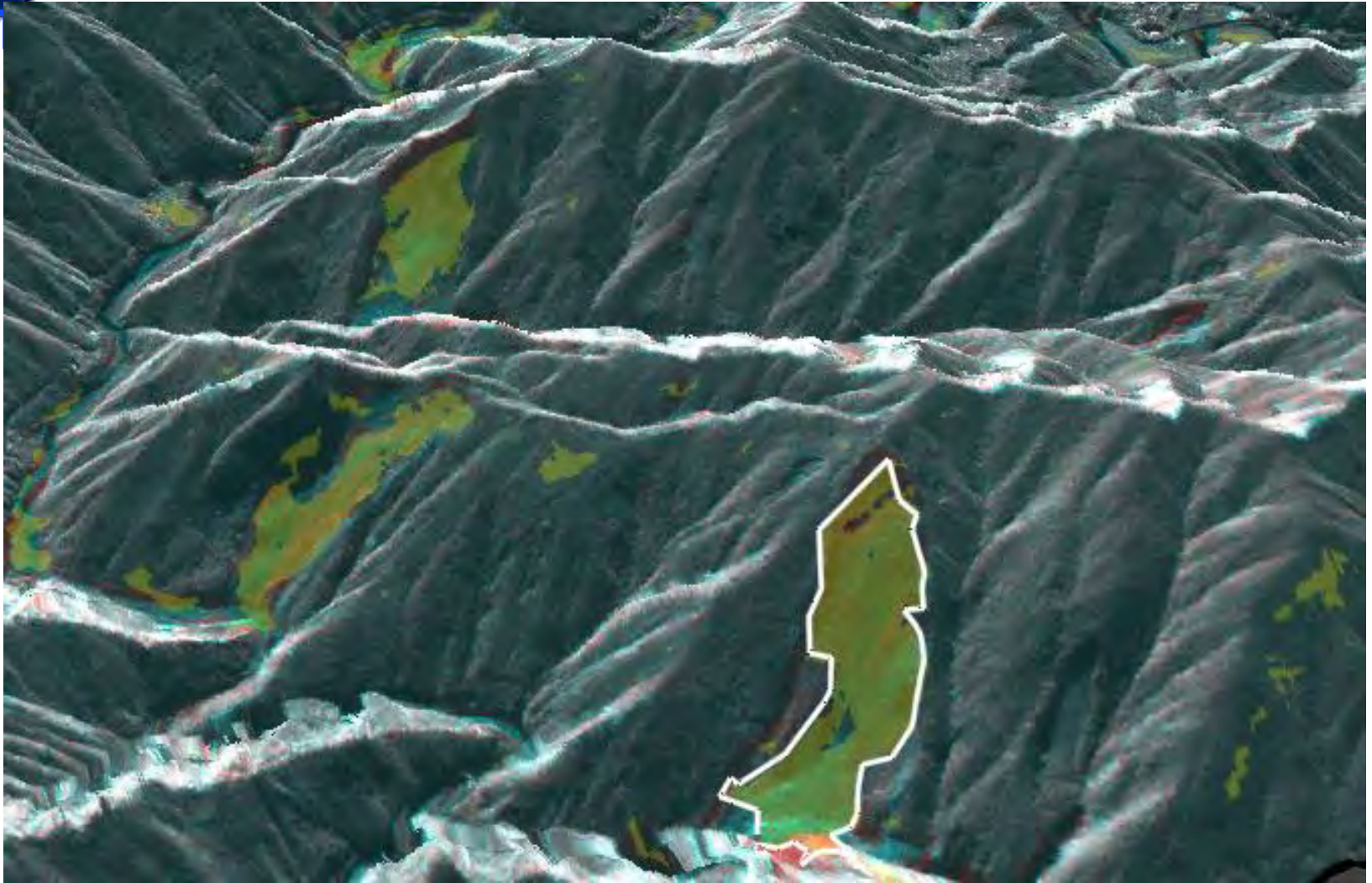




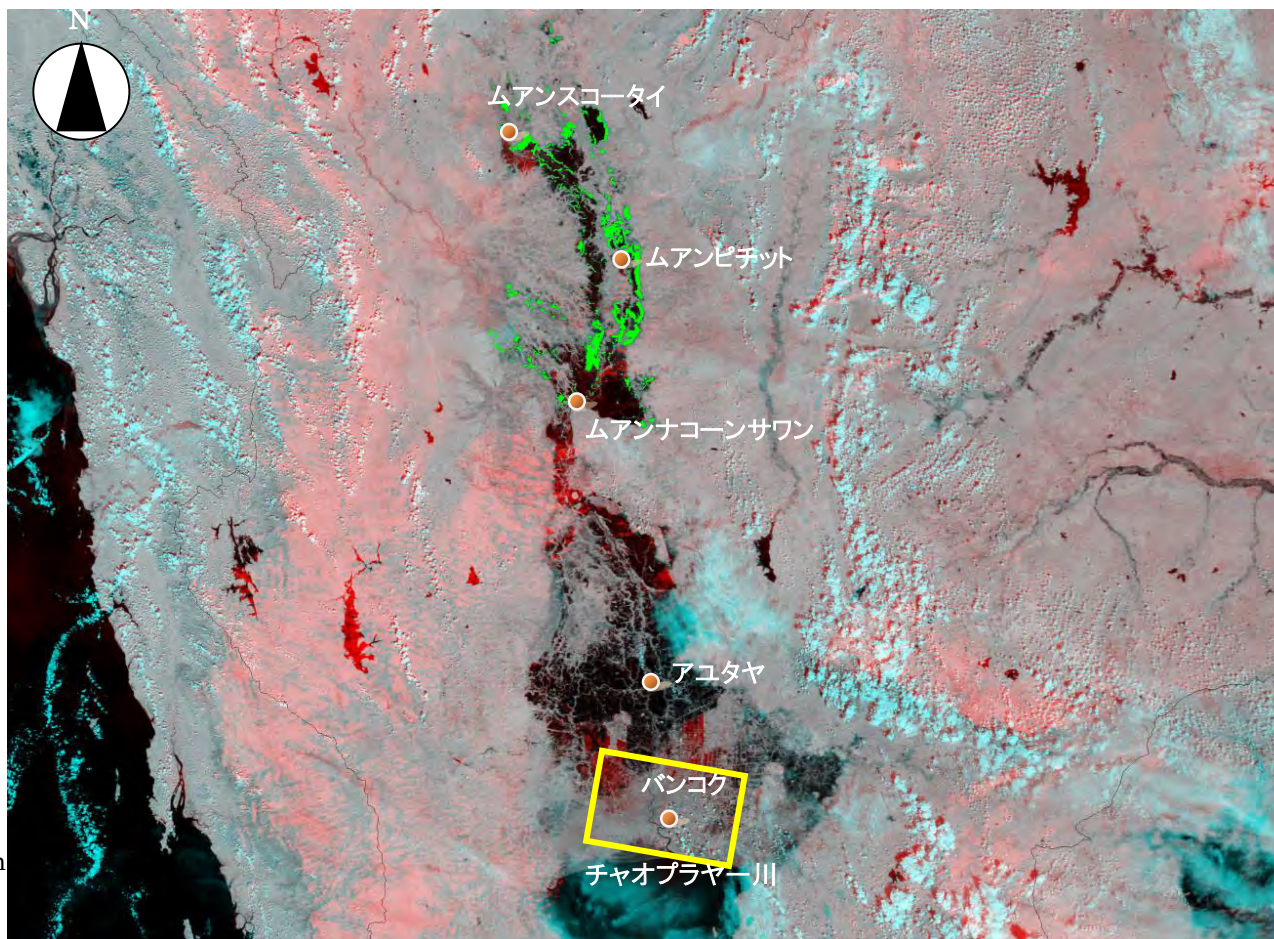
高分解能レーダー衛星データによる斜面崩壊地 3D画像(奈良県五條市大塔町赤谷)



COSMO-SkyMed : 2011年9月11日



広域観測衛星データによる タイ 洪水被災地の検出 (2011年9月頃発災)

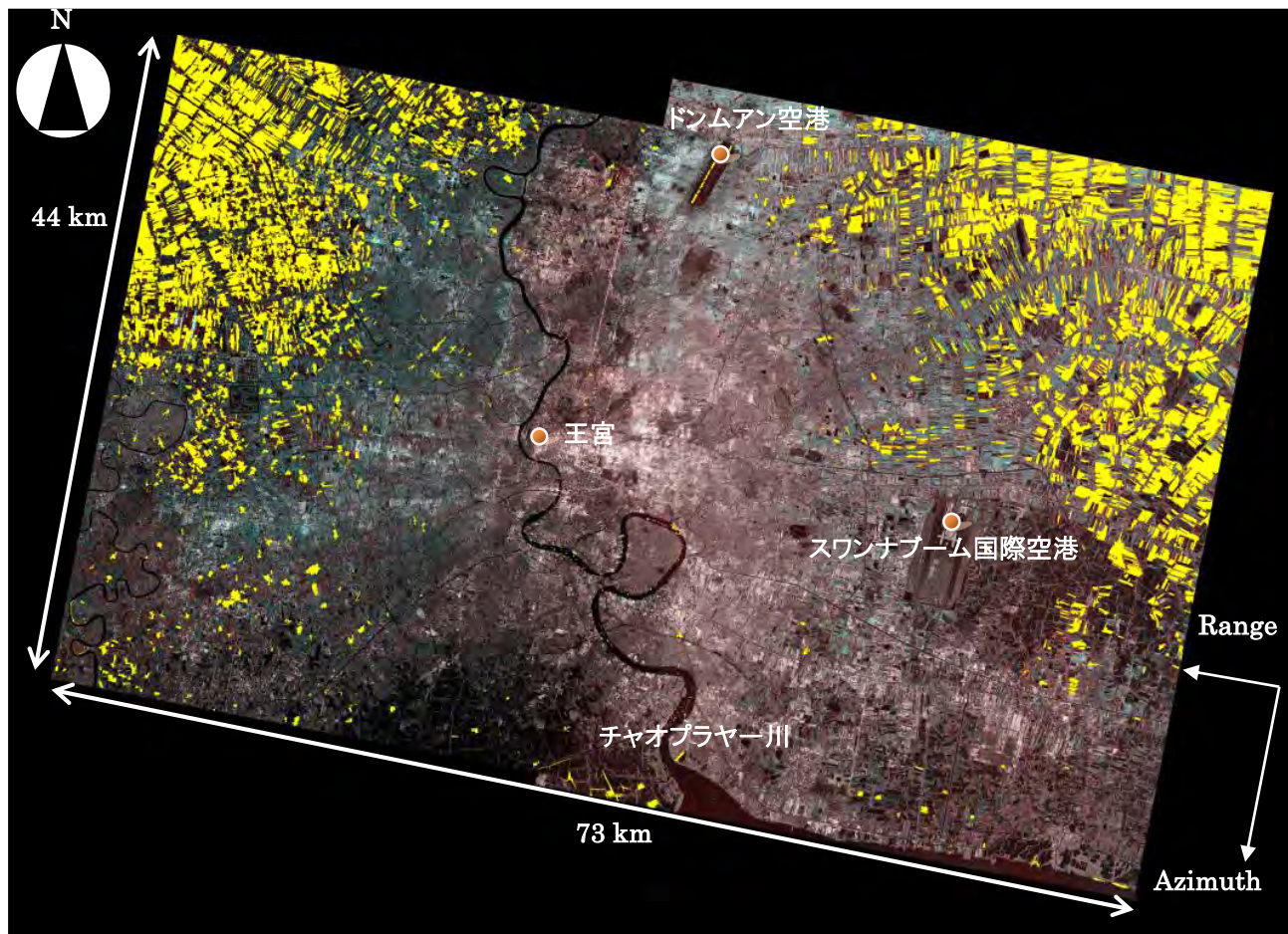


TERRA/MODIS (R: 2011/10/19, G & B: 2011/11/8)

上流部の緑色部分は洪水被災地が上記の期間に減少した地域
中流から下流部の赤色部分は洪水被災地が上記の期間に拡大した地域



高分解能レーダー衛星データによる タイ バンコク 洪水被災地の検出



0 10 20 km

COSMO-SkyMed (Western part: 2011/11/11, Eastern part: 2011/11/8)



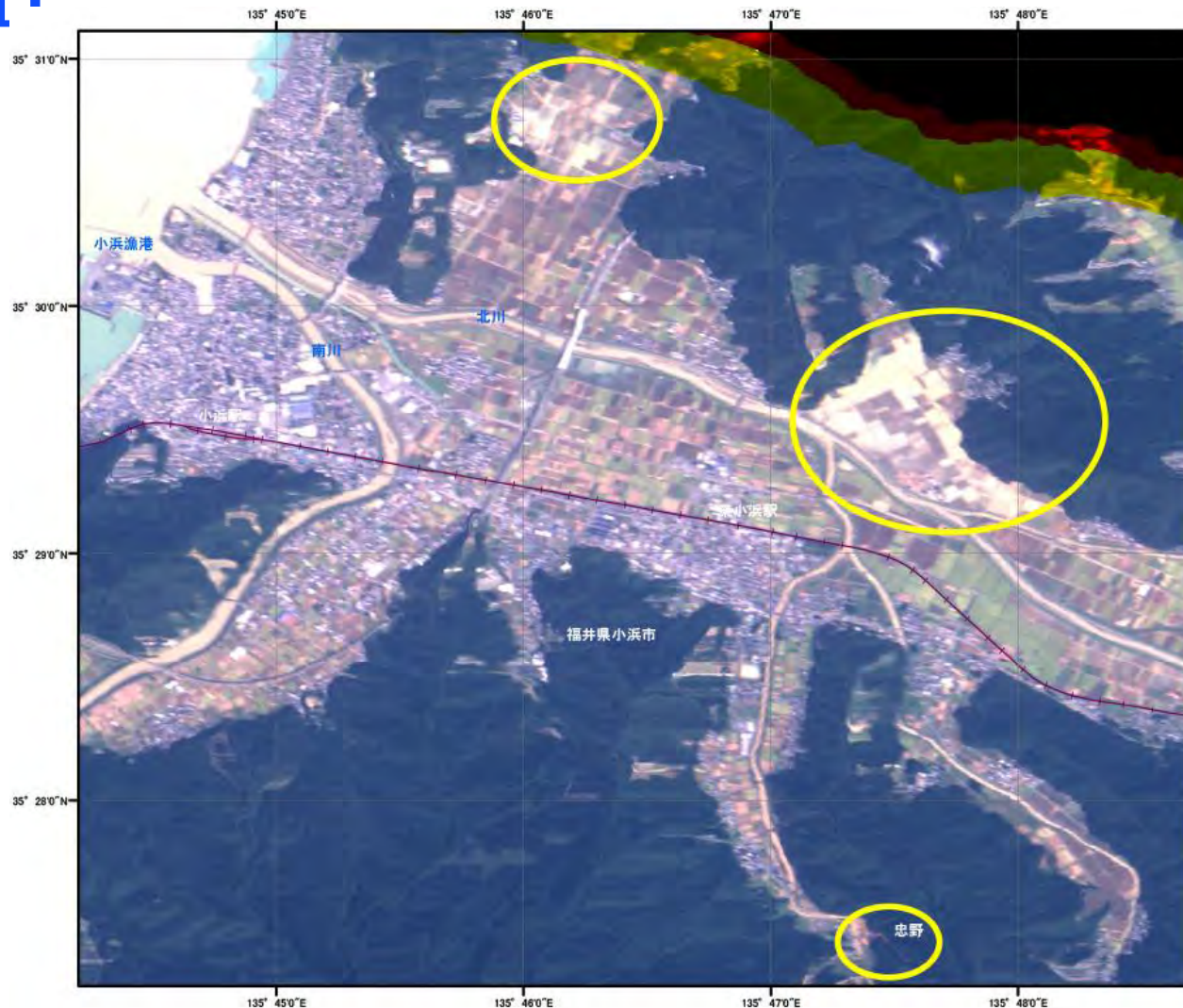
山口・島根 土砂災害 (2013年7月28日発災)



SPOT-5 : 2012年04月24日(災害前) 2013年08月13日(災害後)



福井県小浜市 河川増水・氾濫(2013年9月16日発災)



平成25年 台風18号

発災日: 2013.09.16



<凡例>

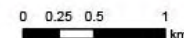
—+— 軌道

<衛星データ>
FORMOSAT-2 ©NSPO 2013
2013.09.17

R: Band 3
G: Band 2
B: Band 1

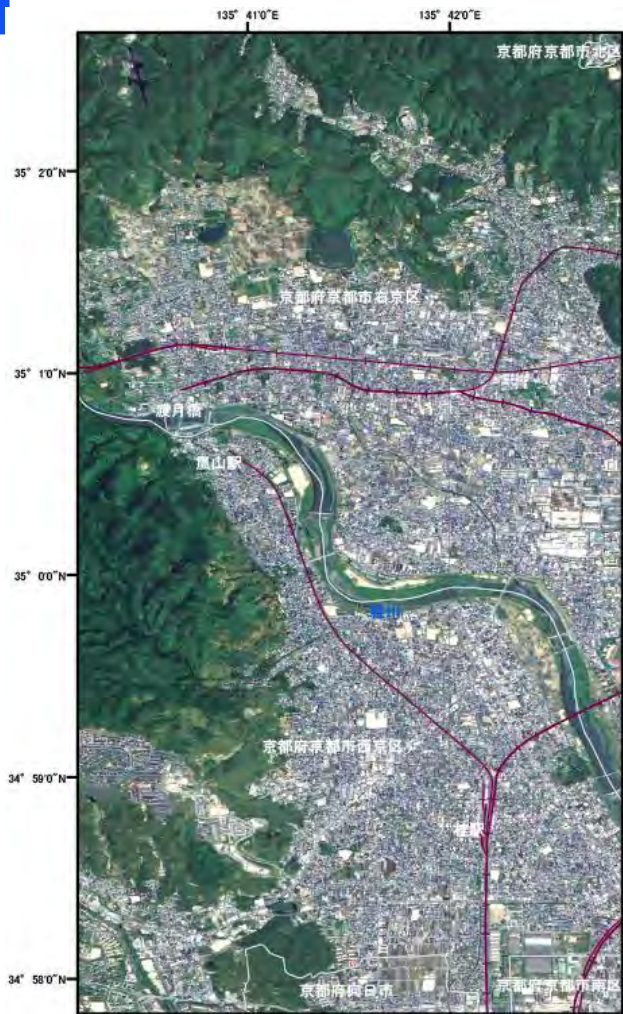
<ベクトルデータ>
基盤地図情報(25000) ©GSI

<解析>
©広島工業大学菅雄三研究室

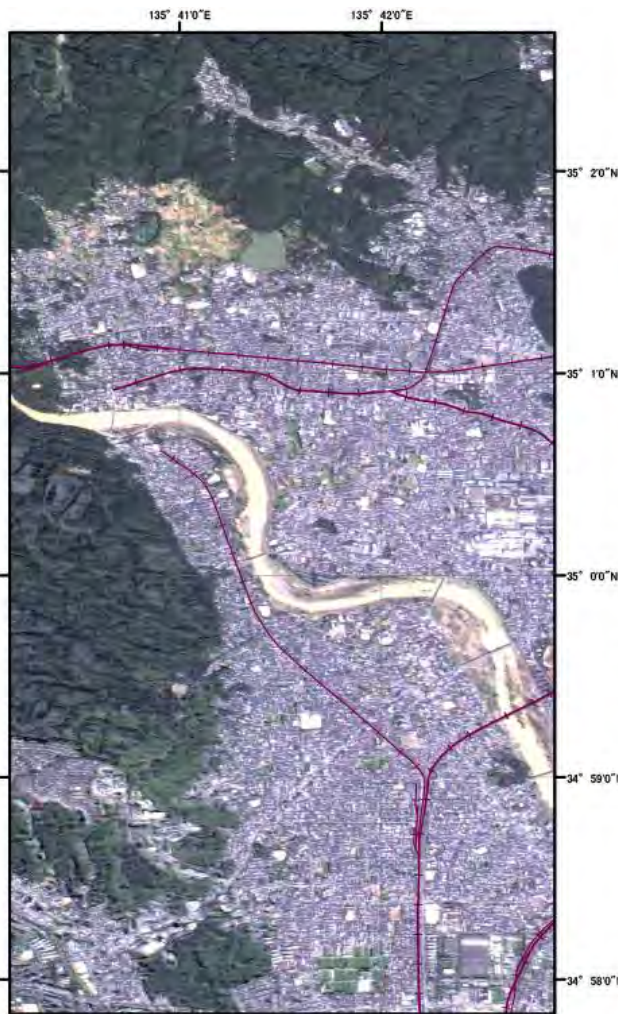




京都市西京区河川増水(2013年9月16日発災)



災害前: ALOS Pan-sharpen



災害後: FORMOSAT-2 Pan-sharpen
2013.09.17

平成25年 台風18号

発災日: 2013.09.16



<凡例>

軌道

<衛星データ>

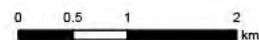
ALOS ©JAXA
Pan-sharpen
FORMOSAT-2 ©NSPO 2013
2013.09.17 Pan-sharpen
R: Band 3
G: Band 2
B: Band 1

<ベクトルデータ>

基盤地図情報(25000) ©GSI

<解析>

©広島工業大学菅雄三研究室





米国ワシントン州 地滑り災害 (2014年3月22日発災)



LANDSAT-8
2013年10月14日(被災前)



LANDSAT-8
(2014年3月23日(被災後))

